

II-47 深い海中に築造された直立防波堤に働く波の圧力

大阪市立大学工学部 工博 正員

田上 正員

大阪市立大学大学院修士課程 正員

・永井 芳七郎

玉串 佐一

西村 益夫

1. 浅海波重複波の波压式の比較

浅海波の重複波の波压に関する微小振幅波理論による式、Gerstner の trochoid 波理論による式、および Sainflou 式の与えた波压強度、その鉛直分布および波压合力の値は波の特性によってかなり大きな相違がある。これはそれ等3種の式の誘導に用いた仮定あるいは条件が違うためであって、それ等の式は式の誘導に用いた条件に従ってその適用範囲を明確にする必要がある。今参考までに水平床で直立壁前面の水深 $h = 12.6 \text{ m}$ (一定) である場合に、周期 $T = 6, 7, 8, 10$ および 12 sec 、波高 $H = 2.52 \sim 7.4 \text{ m}$ の波によって生ずる重複波が直立壁に及ぼす圧力を比較すると表-1 の如くで、その中の1部を図示すると図-1 ～ 4 の如じである。ただし計算に用いた式は次の(1)～(7)式である。

(1) 微小振幅波の重複波 ($\frac{h}{L} < \frac{1}{2}$)

静水面から一定深度における波压強度

$$P = -w_0 h + w_0 H \left\{ 1 + \frac{\cosh m(h+H)}{\cosh mh} - \frac{\cosh m(h+H)}{\cosh mh} \right\} \quad \dots \dots \dots \quad (1)$$

水底 ($-z = h$) における波压強度

$$P = w_0 h + w_0 H \left\{ \frac{1}{\cosh mh} - mH \left(\tanh mh + \frac{1}{2} mH \right) \right\} \quad \dots \dots \dots \quad (2)$$

直立壁に働く全波压 (単位長さにつれて)

$$P_c = \frac{1}{2} w_0 (h^2 - H^2) + w_0 \frac{H \sinh m(h+H)}{m \cosh mh} - w_0 mH^2 (h+H) \left(\tanh mh + \frac{1}{2} mH \right) \quad \dots \dots \dots \quad (3)$$

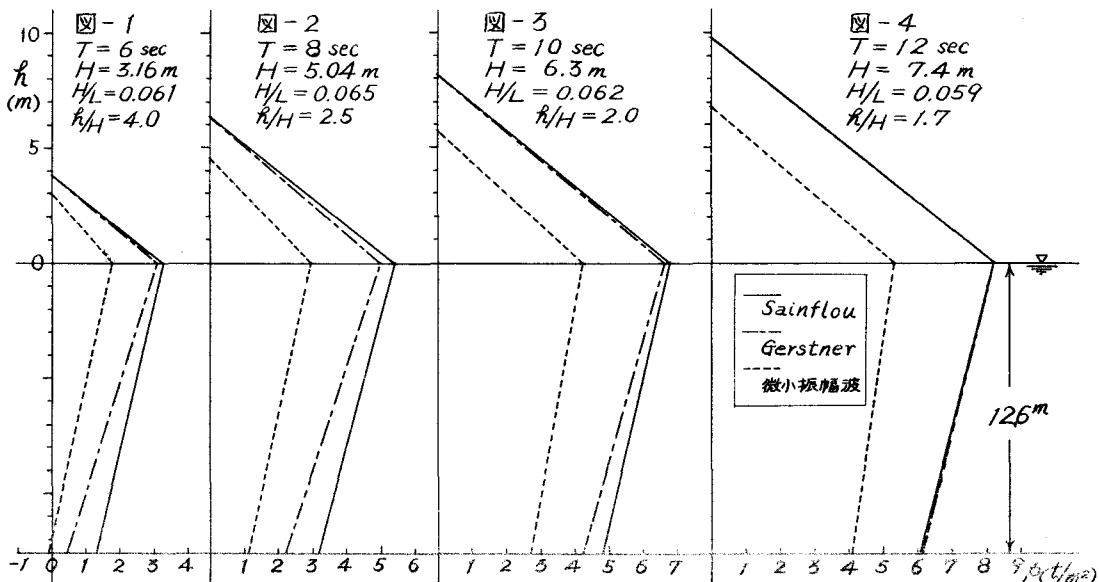


表-1 および図-1～4より、周期が短く、波形勾配が大きい波について3式の値は相当大きく違うが、周期が長く、波形勾配が小さい波についてはその相違は小さくなることわかる。2と2とは(1)～(6)式の下で明らかに異なる。

2. 実験値と理論式の比較検討

風洞式波浪水槽（長さ23m、幅1.0m、深さ1.50m）、魚風の波浪水槽（長さ25m、幅2.0m、深さ1.0m）および大型波浪水槽（長さ58.5m、幅10m、深さ1.90m）を用いて、周期 $T = 1.12 \sim 3.3\text{ sec}$ 、波高 $H = 3.5 \sim 46\text{ cm}$ 、水深 h と波高 H との比 $h/H = 1.2 \sim 12.9$ 、波形勾配 $H_L = 0.011 \sim 0.112$ の波について多数の実験を行った。実験の実物に対する scale は小型の水槽では実物の $1/20 \sim 1/25$ 、大型水槽では $1/10 \sim 1/15$ である。したがって実物換算した実験の範囲は、波 L_p については $T_p = 5 \sim 13\text{ sec}$ 、 $H_p = 0.70 \sim 6.90\text{ m}$ 、 $L_p = 36 \sim 178\text{ m}$ 、 $H_p/L_p = 0.011 \sim 0.11$ 、直立壁前面の水深 $h_p = 7 \sim 16\text{ m}$ 、 $h_p/H_p = 1.2 \sim 12.9$ である。

これらの実験値と理論式との比較検討の結果、次のことが明らかになった。

- (1) 碎波の衝撃圧力に関する実験におけると同様に重複波の圧力についても、実験の実物に対する縮尺が $1/25 \sim 1/20$ の場合の実験結果は、縮尺が $1/15 \sim 1/10$ の場合の実験結果とはほとんど一致した。すなはち実験規模が $1/25$ より大きい場合には縮尺による影響(Scale effect)はないと考えてよい。
- (2) 水平な海底に築造された直立壁（前面が全く平面である場合）においては、前面の水深 h_p と侵入波の波高 H_p の比が1.8倍以上であれば、周期 T_p が 7 sec 以下で（すなはち $T_p \leq 7\text{ sec}$ ）、波形勾配 H_p/L_p が $13 \sim 0.040$ より大きい波の場合を除けば、 H_p/h_p が $0.5 \sim 1.8$ のすべての場合に直立壁前面には微小振幅波理論による重複波近似が生ずる。
- (3) $T_p = 5 \sim 7\text{ sec}$ で $H_p/L_p > 0.040$ の波では一般に部分的碎波を生ずるので波压はやや大きい。Saunders 式による値 P_s は $(1.1 \sim 1.4)$ 倍である。
- (4)(a) $T_p = 5 \sim 13\text{ sec}$ 、 $H_p/L_p = 0.01 \sim 0.10$ 、 $h_p/H_p \geq 1.8$ の波においては、 $T_p = 5 \sim 7\text{ sec}$ で $H_p/L_p > 0.040$ の波を除けば、微小振幅波理論による重複波近似が実験値に最も近い値を与える。
- (b) Saunders 式は $T_p = 5 \sim 6\text{ sec}$ の短い周期で波形勾配が $13 \sim 0.045$ 以上の波のとき実験値に近い値を与え、しかも一般に $10 \sim 40\%$ 大きい値を与える。
- 周期 T_p が 7 sec 以上上の波においては周期が大きくなるにつれて実験値より過大な値を与え、 $T_p = 8 \sim 12\text{ sec}$ の波では $1.5 \sim 2.0$ 倍の値を与える。
- (c) Gerstner のトロコイド波理論の厳密解による重複波近似は、周期が短い $T_p = 5 \sim 7\text{ sec}$ で波形勾配が小さい場合 ($H_p/L_p \leq 0.040$) では実験値に近い値を与えるが、その他は一般に実験値に合む。

註：表-1 および式(4)～(7)は講演時に提示